

## II-34 局所洗掘の相似則について

大阪大学大学院 正員 劉 世 煉

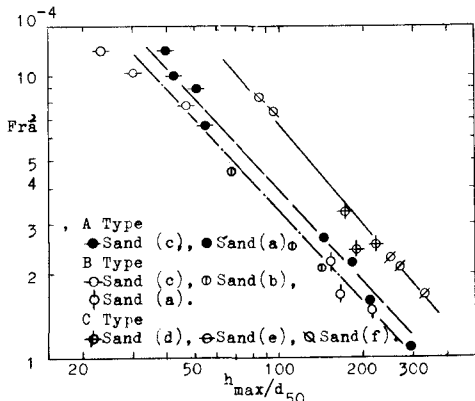
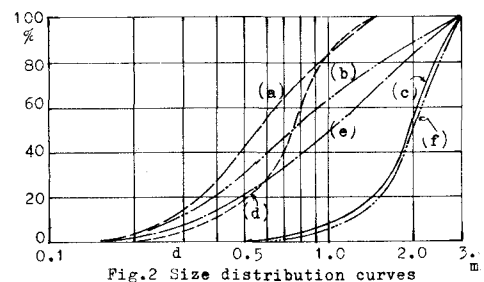
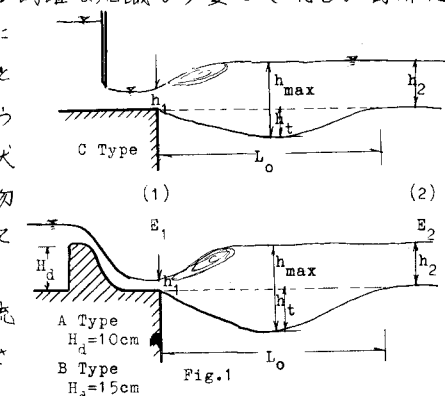
水理構造物下流側の局所洗掘に関する問題は現在迄にはすでに多数の研究成果が發表されているが、模型の実験結果から実物に再現出来る様な適當な縮尺関係は未だ求められていられない様である。一般に局所洗掘の問題の処理に当つて大別すると2つの方法がある、その一つは流水の特性を完全に把握し、此等の量と洗掘量との間の関係を確立することである。この方法では乱流理論と流砂の運動機構に関する的確な知識が必要とされる。局所洗掘の場合ではその現象と機構が複雑であるため、特に洗掘孔の発達過程に対して時間的平均値を用いることが問題となる。他の一方法は縮尺模型の実験結果から流水の條件、河床構成材料の特性と水理構造物の形状に依る洗掘孔の時間的発達過程と洗掘孔の様相を実物に対応させることである。本報告は後の方針において最も問題となるべき相似則を明らかにすべく、Fig. 1に示す二種の水理構造物について、河床構成材料、流れ特性を広範囲に変えて実験を行い、洗掘孔最大深さの縮尺関係を、近似的にエネルギー保存法則が適用しうるとして仮定の下で次元解析法を用いて整理し、このような局所洗掘を支配すべき相似則について提案したものである。

Fig. 1に示したように終局の洗掘状態に到達した場合について考える。洗掘孔部において乱れ、形状抵抗と河床粒子の摩擦抵抗に依つて損失される単位幅単位時間のエネルギーを $\Delta E$ とする。

$$\Delta E = F_1(\mu, \gamma, \gamma_s, d, U_{sc}, w_s, g, h_{max}, L_o) \quad (1)$$

の関数となる。ここで、 $\mu$ :水の粘性係数、 $\gamma$ :水の単位体積の重量、 $\gamma_s$ :水中に於ける砂粒の単位体積の重量、 $d$ :混合砂の代表粒径、 $U_{sc}$ :砂粒限界摩擦速度、 $w_s$ :沈降速度、 $g$ :重力加速度、 $h_{max}$ :最大洗掘深さ、 $L_o$ :洗掘孔の長さを表す。今、 $\mu$ 、 $U_{sc}$ と $h_{max}$ を循環変数として整理し、適当に変換すると

$$\frac{\Delta E}{\mu h_{max}^2 U_{sc}} = F_2\left(\frac{Re_k}{Fr_a^2}, Fr_a^2, \frac{\gamma_s}{\mu}, \frac{d}{h_{max}}, \frac{L_o}{h_{max}}, \frac{w_s}{U_{sc}}\right) \quad (2)$$



ここで、 $Fra^2 = U_{ac}^2 / gh_{max}$ 、 $Re_k = U_{ac} h_{max} / v$ 。v は動粘度係数。今、流れを完全乱流とすると、 $Re_k$  の項を省略するところが出来る、 $U_{ac}/v$  の項はこの場合は一定で、 $U_{ac}/v$  の項は粒径 d に比例するが、この項の効果は後の実験結果 (Fig. 5) から判る様に粒径に対しても省略出来る程度である。Fig. 3 と Fig. 4 に示した実験結果から  $U_{ac}/h_{max}$  は  $Fra^2$  に無関係で一定であることがう洗

$$\text{终的: } \frac{\Delta E}{F_{\text{max}} \cdot U_{\text{sc}}} = A(F_r) \quad (3)$$

となる。従つて Fig. 1. から断面(1)と(2)との間に単位幅単位時間のエネルギーは  $E_1 = \Delta E + E_2$  と 12 書いた。 (2)式を(3)式に代入

(2) 各断面に於ける運動量補正係数を近似的に 1 とすると、

$$h_{\max}^2 = \left( \frac{1}{h_1^2} - \frac{1}{h_2^2} \right) g^2 / 2g \cdot U_{\text{tot}} \cdot A(Fr_a^2), \quad \text{or} \quad A(Fr_a^2) = (E_1' - E_2') g / h_{\max}^2 \cdot U_{\text{tot}} \quad (4)$$

$$\text{ここで } f: \text{単位幅の流量}, E'_1 \text{ と } E'_2 \text{ は夫々断面(1)と(2)に於ける比エネルギーを表す。上の式を縮尺に直すと, } m_A^{\frac{1}{2}} = m_h \cdot m_V^{\frac{1}{2}} / m_{h\max} \cdot m_{V\max}^{\frac{1}{2}} \quad (5).$$

ここに  $\eta$  は縮尺を表す、添字  $\theta$  は垂直方向の特性長さ、 $U_0$  は特性流速である。(5)式を用いて模型と流水條件を一定にして、混合砂(Fig.2)を種々変え実験した結果を  $Fra$  の縮尺に対して plot すると Fig.5 に示した結果となる。この結果から判るように  $m_{\text{fl}}$  は  $U_{\text{fl}}$  に無関係であるにもかかわらず、 $U_0$  の値に近似している。この偏差は実験で用いられた水理條件(Fig.1)に依る周期的洗掘の発生、洗掘孔表面砂粒の sorting 効果<sup>(11)</sup>に依る洗掘前後の粒度分布曲線が異なるため、縮尺計算に用いられた粒径の変化に伴う  $U_0$  の値の相違に歸するものと考えられる。粒度分布曲線の比較的相似してあるもの、例へば Fig.2 の (a)と(c)、または(d)と(f)のものが  $m_{\text{fl}}$  の値は 1 に近い。今、近似的に  $m_{\text{fl}} = 1$  とすると、

$$m_h \cdot m_{\nu^2} / m_{\text{ferm}} \cdot m_{\nu^2} = 1 \quad (6)$$

(6)式から最大洗掘深さの模型縮尺関係を近似的に確立することができる。尚、 $m_{A\%}$  の偏差的確な評価は今後の水理構造物と流水条件を変え、多くの実験結果を得なければならぬ。

本研究に当り終始懇切なる御指導を賜った室田明先生に深く感謝すると共に、実験に大なる労をわざうわした構築工学科学生野呂一道君(現阪神高速道路公団勤務)に謝意を表する。

参考文献：(1) 劉世輝 水叩き下流側の洗掘機構について 昭和38年度 關西支部年次學術講演概要

(2) 室田明・劉世輝　流積急変部ごの河床の局所変動について(第一報)

## 第17回 年次学術講演会講演概要

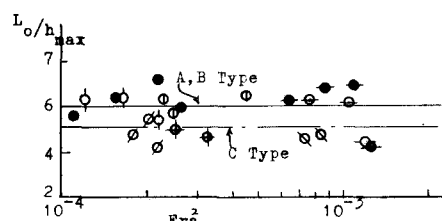


Fig.4 Relations of  $L_c/h_{\max}$  with  $E_{\max}$

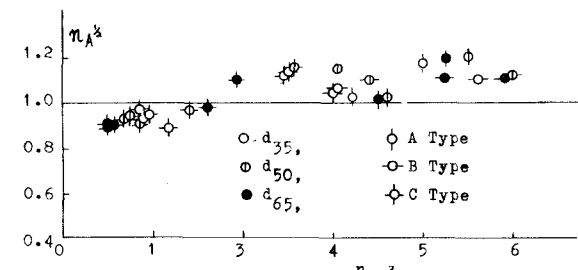


Fig. 5 Experimental results.